

УЧЕТ ЭФФЕКТОВ “ВСТРЯСКИ” ОТ БЕТА-РАСПАДА ПРИ ОПРЕДЕЛЕНИИ  
КОЭФФИЦИЕНТОВ ВНУТРЕННЕЙ КОНВЕРСИИ ПО ВТОРИЧНОМУ  
ЭЛЕКТРОННОМУ ИЗЛУЧЕНИЮ

Н. Ф. Митрохович

*Институт ядерных исследований НАН Украины, Киев*

С помощью отбора  $\gamma$ -квантов в совпадении со вторичными электронами ( $e_0$ -электроны) и  $\beta$ -частицами ( $\gamma\beta e_0$ -совпадения) и специальной геометрии измерений выделено образование  $e_0$ -электронов от электронов “встряски”, сопровождающих  $\beta$ -распад, и измерен их выход. Оценено влияние этого дополнительного источника образования  $e_0$ -электронов на точность определения коэффициентов внутренней конверсии (КВК), когда выход  $e_0$ -электронов от электронов конверсии определяется по выходу  $e_0$ -электронов от  $\beta$ -частиц.

Определение КВК по вторичному электронному излучению ( $e_0$ -электроны) путем измерения его выхода от электронного захвата и от  $\beta$ -частиц описано в работе [1]. Сам метод подробно изложен автором в работах [2, 3]. Не вдаваясь в детали, можно отметить только, что в этих измерениях необходимо получить, кроме измеряемой суммарной  $Z$  вероятности регистрации  $e_0$ -электронов ( $Z$  выход  $N_{\gamma e_0} / N_{\gamma}$ ), еще и по отдельности  $Z$  вероятности регистрации  $e_0$ -электронов от  $\beta$ -частицы ( $Z_{\beta}$ , в случае  $\beta$ -распада), от вакансии в атомной оболочке ( $Z_{\varepsilon} \cong Z_k$ ) и от самого конверсионного электрона ( $Z_e$ ). Тогда полное значение КВК (определяемого  $W = N_e / (N_e + N_{\gamma})$ ) от всех оболочек вычисляется по формулам:

$$W_{\varepsilon} = (Z - Z_k) / Z_k [1 - Z_k + (1 - Z_k)^2 Z_e / Z_k] \quad (\text{для } \varepsilon\text{-захвата}), \quad (1)$$

$$W_{\beta} = (Z - Z_{\beta}) / Z_k [1 - Z_{\beta} + (1 - Z_k)(1 - Z_{\beta}) Z_e / Z_k] \quad (\text{для } \beta\text{-распада}). \quad (2)$$

Если  $Z_k$  и  $Z_{\beta}$  можно измерить по  $\gamma$ -переходам на основное состояние, то с  $Z_e$  связана необходимость еще измерения с конверсионным переходом с хорошо установленным КВК или измерения выхода  $e_0$ -электронов от  $\beta$ -спектра [1]. В последнем случае нужен учет сопутствующих  $\beta$ -распаду процессов “встряски” (также “shake-off” в литературе) низкоэнергетичных электронов с атомной оболочки [4], неучет которых может быть существенным при измерениях КВК с высокой точностью.

В данной работе проведены специальные исследования дополнительного выхода  $e_0$ -электронов от сопутствующих  $\beta$ -распаду процессов “встряски” низкоэнергетичных электронов с целью снятия неопределенности и вычисления необходимых поправок при измерениях КВК по вторичному электронному излучению. Геометрия измерений, показанная на рис. 1, включает детектор  $e_0$ -электронов (МСП), сцинтилляционный детектор  $\beta$ -частиц и Ge(Li)-детектор  $\gamma$ -квантов, для которых реализованы  $\gamma e_0$ -,  $\gamma\beta e_0$ -,  $\gamma\beta$ -совпадения. Радиоактивный источник S ориентирован подложкой к МСП-детектору. Измерения проводились с радиоактивными источниками  $^{152,154}\text{Eu}$  с толщиной поверхностного слоя  $\approx 20 - 30 \text{ мкг/см}^2$ . Было проведено (см. таблицу) 14 различных серий измерений (на рис. 2 и 3 одна из них, под № 12), позволивших идентифицировать каналы образования  $e_0$ -электронов (активная сторона источника, подложка, Al электрод “e”), а также учесть рассеяние электронов из детектора в детектор, создающее ложные  $\gamma\beta e_0$ -совпадения.

Результаты измерений приведены в таблице, которая содержит  $Z$ -выходы для  $\beta$ -ветвей распада 175, 384, 695 и 1063 кэВ, выделяемых в совпадениях  $\gamma$ -переходами 1299, 1090, 779 и 411 кэВ соответственно. Электронный захват выделялся по  $\gamma 1086$  кэВ, идущему на основное состояние  $^{152}\text{Sm}$ . Геометрия измерений в этой таблице указана наличием элемен

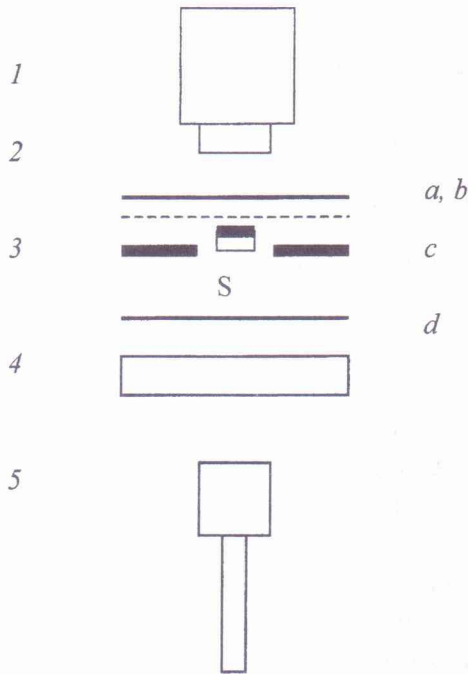


Рис. 1. Геометрия измерений  $\gamma e_0$ -,  $\gamma\beta$ - и  $\gamma\beta e_0$ -совпадений  $\gamma$ -квантов со вторичными электронами и  $\beta$ -частицами: 1 – ФЭУ; 2 – пластик-сцинтиллятор, 2 мм; 3 – радиоактивный источник (S); 4 – МСР-детектор; 5 – Ge(Li)-детектор; *a* – Al 10 мкм (e); *b* – сетка; *c* – диафрагма; *d* – Al фольга, 10 мкм.

Электроды *a*, *b*, *c*, *d* могут присутствовать и находиться под различными потенциалами, в зависимости от требуемой геометрии эксперимента (указывается в таблице).

**Z-выходы ( $N_{\gamma e_0}/N_{\gamma}$ ,  $N_{\gamma\beta e_0}/N_{\beta\gamma}$ )  $e_0$ -электронов от различных  $\beta$ -компонент распада  $^{152}\text{Eu}$  и от электронного захвата в  $^{152}\text{Eu}$**

$Z_{\beta 175}$	$Z_{\beta 384}$	$Z_{\beta 695}$	$Z_{\beta 1063}$	$Z_e$	№ геометрии
0,0232(6)	0,0143(6)	0,0072(2)	0,0076(4)	0,03361(16)	1. <i>a</i> , $\gamma e_0$
0,0100(11)	0,0032(13)	0,0014(4)	0,0016(9)	0,0202(3)	2. <i>a</i> , $(\gamma e_0)_e$
0,030(13)	0,023(5)	0,013(1)	0,009(3)	0,038(2)	3. <i>a</i> , $\gamma\beta e_0$
0,0191(13)	0,0174(6)	0,0114(4)	0,011(1)	0,0186(4)	4. <i>b</i> , $\gamma e_0$
0,0059(16)	0,034(65)	0,0071(14)	0,0052(36)	0,026(2)	5. $\gamma\beta e_0$ , S = 0, -140
0,038(16)	0,0009(64)	0,0094(14)	0,0100(4)	0,020(2)	6. $\gamma\beta e_0$ , S = 0, +215
0,021(12)	0,0094(51)	0,0063(12)	0,0063(30)	0,013(1)	7. $(\gamma\beta e_0)_b$ , S = -140
0,003(12)	0,014(5)	0,006(12)	0,0036(30)	0,018(1)	8. $(\gamma\beta e_0)_{-e}$ , S = +215
0,0103(10)	0,0132(2)	0,0121(6)	0,0092(15)	0,0068(5)	9. <i>b, c</i> , $\gamma e_0$
0,028(6)	0,0092(22)	0,0080(5)	0,0070(13)	0,0098(13)	10. <i>b, c</i> , $\gamma\beta e_0$
0,013(1)	0,019(1)	0,0116(4)	0,011(1)	0,0118(4)	11. <i>b(-24), c</i> , $\gamma e_0$
0,039(7)	0,005(3)	0,0050(4)	0,006(2)	0,012(1)	12. <i>b(-24), c</i> , $\gamma\beta e_0$
0,0003(16)	0,00040(26)	0,0087(8)	0,0076(19)	$\approx 0$	13. <i>b(-24), c, d</i> , $\gamma e_0$
0,017(9)	0,000(4)	0,004(1)	0,0008(36)	$\approx 0$	14. <i>b(-24), c, d</i> , $\gamma\beta e_0$

тов *a* (электрод "e"), *b* (сетка), *c* (диафрагма), *d* (отдельное измерение). Измерения 1 - 4 в этой таблице, которые согласуются с сопоставимыми данными работы [5], проведены в основной геометрии измерений с внешним электродом "e" и указывают на основную часть образования  $e_0$ -электронов от подложки, а также заметную часть их образования от электрода "e". Это подтверждается и другими измерениями: 5 - 8, выполненными без всяких электродов (под "e" обозначена Al пленка сцинтиллятора); 9 - 10, проведенными с диафрагмой, уменьшающей рассеяние из детектора в детектор; 11 - 12, подобными 9 - 10, но с отрицательным потенциалом на сетке, дополнительно отсеивающим внешние по отношению к источнику  $e_0$ -электроны; измерениями 13 - 14 выхода  $e_0$ -электронов от прошедших через Al фольгу электронов. Для выделения канала образования  $e_0$ -электронов от низкоэнергетичных электронов "встряски" необходимы измерения 12 на выделенных по направлению  $\gamma\beta e_0$ -совпадениях, когда подавлена регистрация и внешних  $e_0$ -электронов и  $e_0$ -электронов от подложки при рассеянии электронов из МСР-детектора в сцинтилляционный детектор. Эта часть ложных совпадений тщательно измерялась на основе

экспериментальных вероятностей регистрации  $N_{\gamma\beta e}/N_{\gamma}$  и  $N_{\gamma e}/N_{\gamma}$ , отношение которых для геометрии 12 определяет вероятность рассеяния  $P_{\beta e}$  из МСР-детектора в  $\beta$ -детектор. Ложный компонент регистрации  $e_0$ -электронов из подложки от прошедших через нее  $\beta$ -частиц составляет  $2P_{\beta e}N_{\gamma e_0}$ . Коэффициент 2 при  $P_{\beta e}N_{\gamma e_0}$  возникает из-за того, что в  $\gamma e_0$ -совпадениях только половина  $\beta$ -частиц движется в направлении подложки и только эти частицы создают  $e_0$ -электроны, в то время как в  $\gamma\beta e_0$ -совпадениях при рассеянии из МСР-детектора в  $\beta$ -детектор в направлении подложки движутся все  $\beta$ -частицы. Эти ложные совпадения не превышали половины общего выхода  $Z_{\gamma\beta e_0}$  и выхода  $Z_{\gamma\beta e_0}^{\text{shake-off}}$ .

$$Z_{\gamma\beta e_0}^{\text{shake-off}} = Z_{\gamma\beta e_0} - 2P_{\beta e} Z_{\gamma e_0}. \quad (3)$$

В результате по  $\gamma e_0$ -,  $\gamma\beta e_0$ -,  $\gamma\beta$ -совпадениям со вторичными электронами околонулевых энергий ( $e_0$ -электроны), проведенными в различных геометриях измерения, выделено (рис. 2 и 3) присутствие в  $\beta$ -распаде дополнительного к  $\beta$ -электронам низкоэнергетичного источника образования  $e_0$ -электронов (в основном от “встряски”), интенсивность которого по  $Z$ -выходу  $N_{\gamma\beta e_0}/N_{\beta\gamma}$  (с вычитанием  $e_0$ -компонента от обратной стороны источника при рассеянии из МКП-детектора в сцинтилляционный  $\beta$ -детектор) составляет 0,037(7), 0,0023(30), 0,0026(4), 0,0037(20) для  $\beta$ -компонент  $^{152}\text{Eu}$  с энергией 175, 384, 695, 1063 кэВ соответственно и составляет 0,039(10) для  $\beta$ 249 кэВ  $^{154}\text{Eu}$ . Чтобы пересчитать  $Z$ -выход  $e_0$ -электронов от электронов “встряски” при  $\beta$ -распаде, измеренный при выделенных в  $\gamma\beta e_0$ -совпадениях направлениях вылета  $\beta$ -частиц, к измерениям, в которых направление вылета  $\beta$ -частицы не выделяется, т.е. к  $\gamma e_0$ -совпадениям, необходимо учесть, что между направлением вылета электрона, вызывающего “встряску”, и электроном “встряски” существует жесткая корреляция. Оба электрона испускаются в одну и ту же полусферу [6, 7] и это уменьшает в два раза вероятность регистрации  $e_0$ -электронов от “встряски” в  $\gamma e_0$ -совпадениях по сравнению с  $\gamma\beta e_0$ -совпадениями. С учетом этого интенсивность образования  $e_0$ -электронов от “встряски” составляет  $\approx 12\%$  по отношению к образованию от  $\beta$ 695 кэВ из распада  $^{152}\text{Eu}$ .

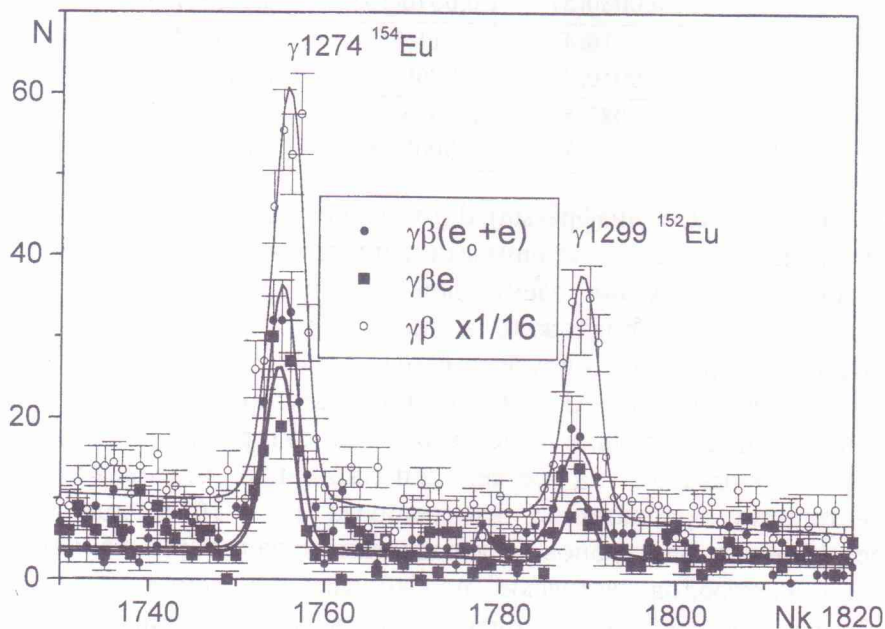


Рис. 2. Регистрация  $e_0$ -электронов от “встряски” в  $\gamma\beta e_0$ -совпадениях с  $\beta$ 175 и  $\gamma$ 1299 кэВ в распаде  $^{152}\text{Eu}$   $^{154}\text{Eu}$  в источнике является примесным.

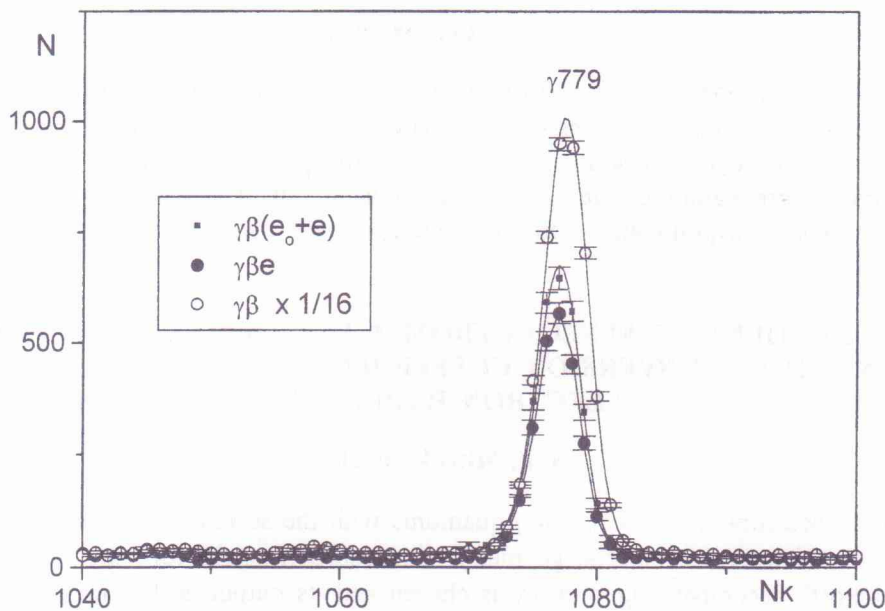


Рис. 3. Регистрация  $e_0$ -электронов от “встряски” в  $\gamma\beta e_0$ -совпадениях с  $\beta 695$  и  $\gamma 779$  кэВ в распаде  $^{152}\text{Eu}$ .

Учет источника образования  $e_0$ -электронов от “встряски” атомной оболочки при  $\beta$ -распаде позволяет более корректно определить КВК, устраняя систематическую ошибку от неопределенного и неучтенного эффекта, который занижает экспериментальное значение КВК на 6 % для  $\alpha_{122}$  перехода 122 кэВ E2 в распаде  $^{152}\text{Eu}$ , составляя без учета “встряски” 1,08(2), в то время как с учетом “встряски” – 1,15(2), что согласуется с табличным и общепринятым значением 1,167. Следует отметить, что полученная поправка к КВК на “встряску” может быть корректно применена для источников толщиной 10 - 30  $\text{мкг}/\text{см}^2$ , обычно используемых в спектроскопии конверсионных электронов для низкоэнергетичной части спектра. В случае сильно отличающихся значений поверхностной толщины источника от использованных в данной работе требуются дополнительные измерения.

#### СПИСОК ЛИТЕРАТУРЫ

1. Митрохович Н.Ф. // Збірник наукових праць Інституту ядерних досліджень. – 2001. – № 1(3). – С. 67.
2. Митрохович Н.Ф. // Изв. РАН. Сер. физ. - 2000. – Т. 64, № 3. – С. 567 – 571.
3. Митрохович Н.Ф. // Матеріали щорічної наукової конференції Інституту ядерних досліджень. – Київ, 1999. – С. 71.
4. Альфа-, бета- и гамма-спектроскопия / Под ред. К. Зигбана. – Вып.4. – М.; Атомиздат, 1969. – С. 199.
5. Купряшкин В.Т., Митрохович Н.Ф., Сидоренко Л.П. и др. // Матеріали щорічної наукової конференції Інституту ядерних досліджень. – Київ, 1997. - С. 75.
6. Weber Th., Giessen† H., Weckenbrock M. et al. // Nature. – 2000. – Vol. 405. – P. 658.
7. Weckenbrock M., Hattas M., Czasch A. et al. // J. Phys. B. – 2001. – Vol. 34. – P. 449.

**ОБЛІК ЕФЕКТІВ “СТРУСУ” ВІД БЕТА-РОЗПАДУ ПРИ ВИЗНАЧЕННІ КОЕФІЦІЄНТІВ  
ВНУТРІШНЬОЇ КОНВЕРСІЇ ЗА ВТОРИННИМ ЕЛЕКТРОННИМ ВИПРОМІНЮВАННЯМ****М. Ф. Митрохович**

За допомогою відбору збігів  $\gamma$ -квантів із вторинними електронами ( $e_o$ -електрони) та  $\beta$ -частинками ( $\gamma\beta e_o$ -збіги) і спеціальної геометрії вимірювання виділено утворення  $e_o$ -електронів від електронів “струсу”, що супроводжують  $\beta$ -розпад, і виміряно їх вихід. Оцінено вплив цього додаткового джерела утворення  $e_o$ -електронів на точність визначення коефіцієнтів внутрішньої конверсії, коли вихід  $e_o$ -електронів від електронів конверсії визначається по виходу  $e_o$ -електронів від  $\beta$ -частинок.

**“SHAKE-OFF” ACCOUNT OF EFFECTS FROM A BETA-DECAY AT DETERMINATION  
OF INTERNAL CONVERSION COEFFICIENTS DUE TO SECONDARY  
ELECTRON RADIATION****N. F. Mitrokhovich**

By means of selection coincidence of  $\gamma$ -quantums with the secondary electrons ( $e_o$ -electrons) and  $\beta$ -particles ( $\gamma\beta e_o$ -coincidences) and special geometry of measurements the formation of  $e_o$ -electrons from electrons of “shake-off” accompanying  $\beta$ -decay is chosen and its output is determined. Influence of this additional source of  $e_o$ -electrons formation on the accuracy of the internal conversion coefficient determination is estimated, when the output of  $e_o$ -electrons from electrons of conversion is defined on the output of  $e_o$ -electrons from  $\beta$ -particles.

Поступила в редакцію 04.02.02,  
после доработки – 12.09.02.